



Laboratório 7 – Redes Neurais

Inteligência Artificial para Robótica Móvel – CT-213

Aluno: Caio Graça Gomes

Professor: Marcos Ricardo Omena de Albuquerque Maximo

Introdução:

Nesse laboratório, teve-se por objetivo construir uma rede neural de 2 camadas (sendo elas uma de entrada, uma escondida e uma de saída) para segmentar cores da visão de um robô em uma partida de futebol de robôs. Para tal feito, foi implementada a lógica do back e front propagation de modo que a rede seja capaz de realizar classificação multiclasse..

Metodologia e descrição em alto nível do algoritmo utilizado:

Para a construção da rede neural que realiza classificação multiclasse, foi utilizada uma *loss function* de regressão logística multiclasse:

$$L(y^{(i)}, \hat{y}^{(i)}) = - \sum_{c=1}^C [(1 - y_c^{(i)}) \log(1 - \hat{y}_c^{(i)}) + y_c^{(i)} \log(\hat{y}_c^{(i)})]$$

Sendo C o número de *outputs* da rede, $y_c^{(i)}$ as saídas esperadas pelo neurônio de número c no i -ésimo treinamento e $\hat{y}_c^{(i)}$ as saídas de fato obtidas. A função custo utilizada foi obtida pela média das *loss functions* calculadas durante o treinamento da rede:

$$J(\theta) = \frac{1}{m} \sum_{i=1}^m L(y^{(i)}, \hat{y}^{(i)})$$

Com θ sendo a matriz $[w \ b]^T$, m o número de casos teste para treinamento, w a matriz dos pesos dos neurônios e b o vetor de *biases* dos neurônios. Além disso, considerando a rede com uma função de ativação sigmóide $\sigma(\cdot)$ em todos os neurônios, chega-se às seguintes equações para o algoritmo de Back Propagation nessa rede:

$$\frac{\partial L}{\partial w_{ck}^{[2]}} = \delta_c^{[2]} a_k^{[1]} \quad \frac{\partial L}{\partial b_c^{[2]}} = \delta_c^{[2]} \quad \frac{\partial L}{\partial w_{kj}^{[1]}} = \delta_k^{[1]} a_j^{[0]} \quad \frac{\partial L}{\partial b_k^{[1]}} = \delta_k^{[1]}$$

em que:

$$\delta_c^{[2]} = (\hat{y}_c^{(i)} - y_c^{(i)}) \quad \delta_k^{[1]} = \sum_{c=1}^C w_{ck}^{[2]} \delta_c^{[2]} \sigma'(z_k^{[1]})$$

Com isso, foi possível implementar a lógica do *back* e *front propagation* fazendo uso de uma descida de gradiente estocástica. Ao final da implementação, testou-se o código em `test_neural_network.py` (taxa de aprendizado 6.0 e 10 neurônios na camada escondida) usando funções `xor(x)` e `sum_gt_zero(x)` providos de `utils.py`. Após isso, com 20 neurônios na camada escondida, executou-se o `test_color_segmentation.py` para a obtenção de uma foto segmentada.

Resultados do `test_neural_network.py`:

Ao final da implementação da rede neural, obteve-se os seguintes resultados no primeiro teste:

Figura 1: Convergência da função custo utilizando `sum_gt_zero`.

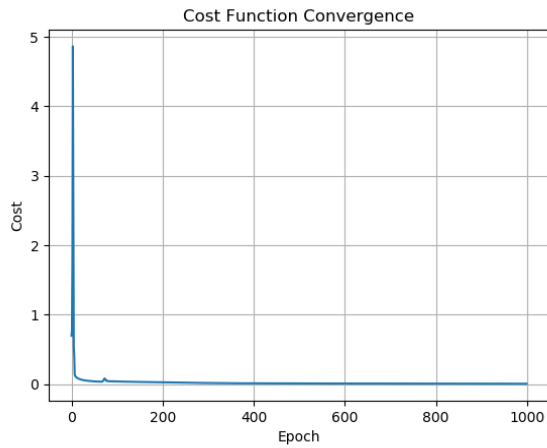


Figura 2: Convergência da função custo utilizando `xor`.

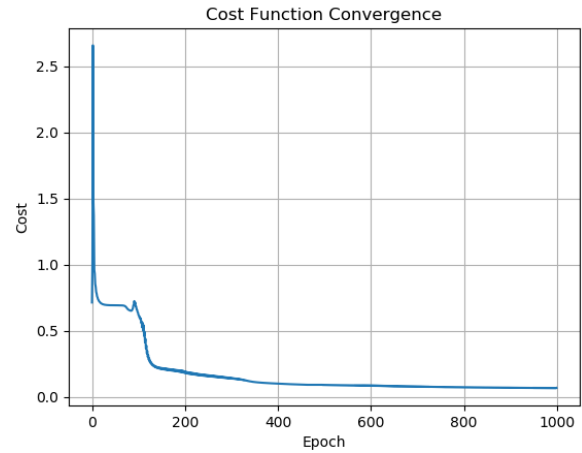


Figura 3: Dataset com devida classificação em `sum_gt_zero`.

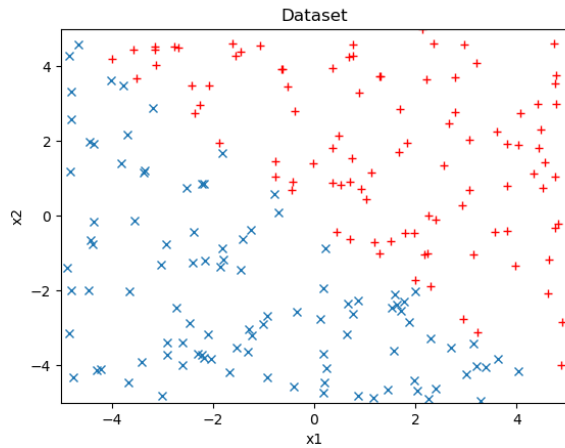


Figura 4: Dataset com devida classificação em `sum_gt_zero`.

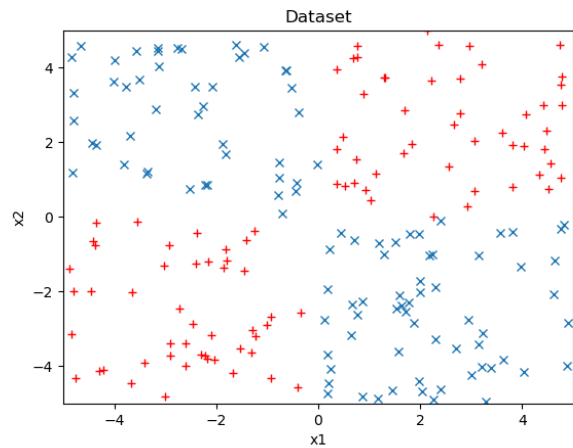
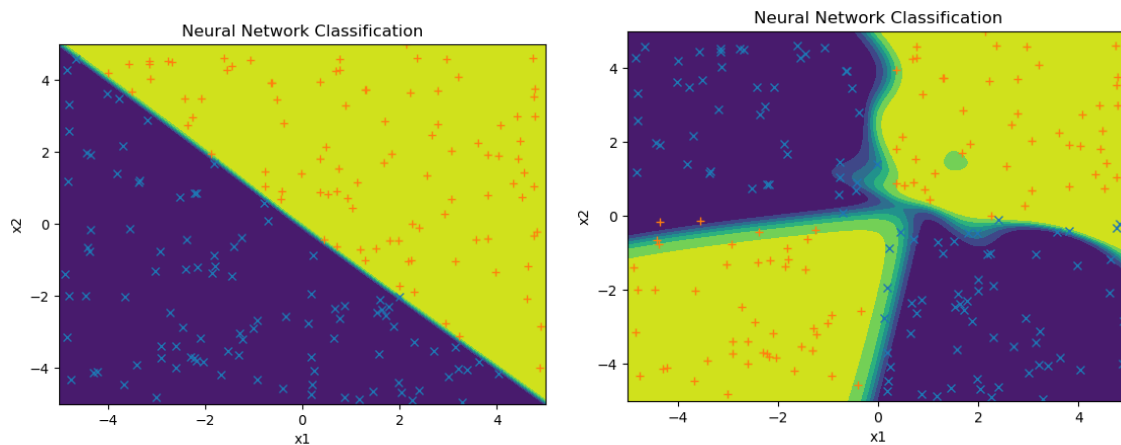


Figura 5: Classificação da função `sum_gt_zero` pela rede neural.

Figura 6: Classificação da função `xor` pela rede neural.



A partir desses resultados, é possível dizer que o algoritmo da rede neural foi eficiente para o `sum_gt_zero()`, mas não tão satisfatório para `xor()`.

Resultados do `test_color_segmentation.py`:

Aplicando uma rede neural com 3 neurônios de entrada, 2 de saída, 20 na camada escondida e taxa de aprendizado igual a 6 ao problema da segmentação de cores de uma foto, foram obtidos os seguintes resultados:

Figura 7: Gráfico da convergência da função custo da segmentação.

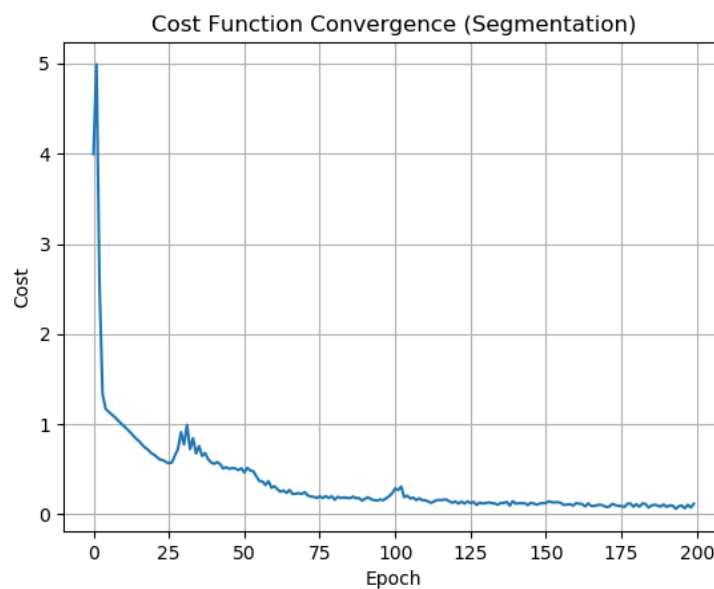


Figura 8: Imagem original a ser segmentada pela rede neural.

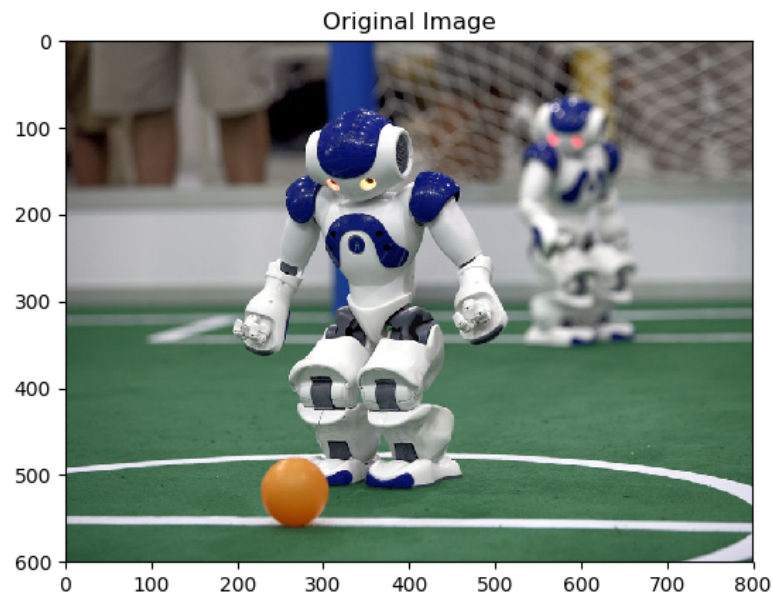
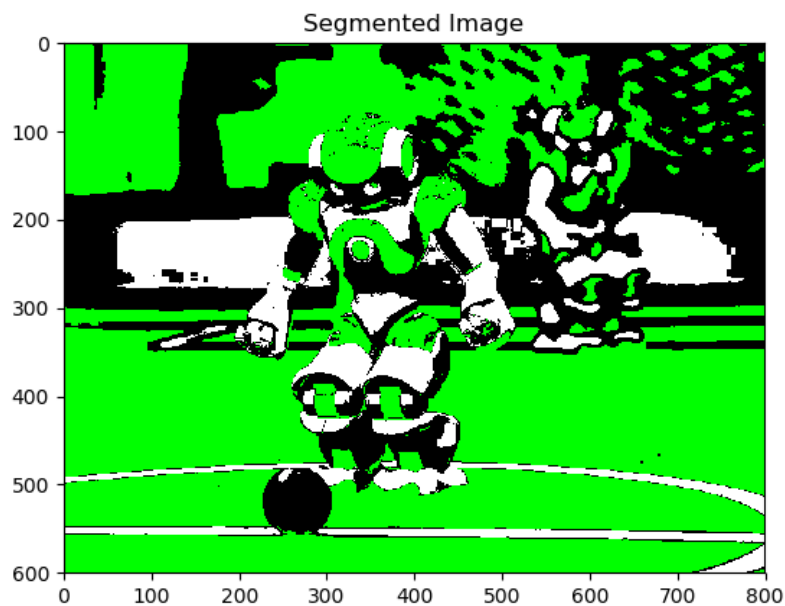


Figura 9: Imagem segmentada pela rede neural.



Assim, com a imagem obtida, é possível concluir que o aprendizado da rede neural foi eficiente, dado que a segmentação foi bem realizada. É possível, ainda, melhorar ainda mais o algoritmo variando parâmetros tais quais o número de neurônios na camada escondida, entrada ou saída e a taxa de aprendizado, mas o resultado obtido já é bem satisfatório para o seu objetivo.